

粘土のベーンせん断強度に関する研究*

ON THE SHEAR STRENGTH OF NORMALLY-CONSOLIDATED CLAY MEASURED IN VANE TESTS

柴 田 徹**
By Toru Shibata

1. まえがき

ベーン試験は、軟弱な粘土地盤の原位置強度を測定するために広く用いられているほか、圧縮試験の代用として室内ベーン試験が行なわれることもある。しかしこの試験に関しては未知の要素が未解明のまま残されているために、従来の試験結果の解釈法が必ずしも妥当であるとはいえない場合もあったと考えられる。このような未知の要素を明確にするために、まずベーン試験解析の基本となっている Cadling¹⁾ の式 (1) から出発する。

$$M = \frac{\pi}{2} HD^2 \tau_V + \frac{\pi}{2} D^3 \alpha \tau_H \quad \dots \dots \dots (1)$$

ここに、 M : ベーンを回転したときのトルクの最大値、 H と D : ベーンの高さと直径、 τ_V と τ_H : 鉛直面と水平面（あるいはベーンの側面と上下両端面）上の最大せん断応力、 α : ベーンの端面上のせん断応力分布によつてきまる係数である。

この式に関して、ベーンによるすべり面が直径 D 、高さ H の円筒面になることは原位置ベーンの際に多数の観察者^{1)~4)}により認められているほか、室内ベーンの X 線による観察でも確認されているので、残された問題は式 (1) の α で代表されるベーン端面の応力分布形に関するものであろう。

つぎに粘土のせん断強度 τ_f は、モビライズされたせん断試験パラメーター φ_m' (簡単のために粘着成分も含めて考える) および垂直有効応力 $\sigma_{N'}$ できるので、

$$\tau_f = f(\varphi_m', \sigma_{N'}) \quad \dots \dots \dots (2)$$

ゆえに式 (1) 中の τ_V または τ_H の意味を明確にするには、ベーンせん断抵抗が最大となったときの垂直有効応力 $\sigma_{N'}$ を知ることが望ましいが、それを直接測定することは容易でなく、たとえば破壊時の間げき水压を測定する試みがなされているが⁵⁾、まだ信頼しうるデータは期待できない。またベーン試験による τ_f に関して従来行なわれた研究の多くは、圧縮試験で求めたせん断強度との比較に重点がおかれ、後述するように、粘土の種類によってそれぞれ異なる結論が導かれている。

この論文では三軸ベーンせん断試験機を用いて、まず Cadling の式 (1) の妥当性を検証したのち、定体積直

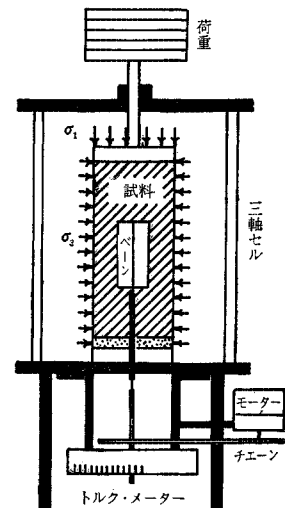
接せん断試験結果と比較することによって、ベーン試験によるすべり面に作用する応力状態を間接的に推定する。ついで粘土の水平と鉛直面におけるせん断強度 τ_H 、 τ_V を分離して測定し、それぞれの特性ならびにせん断強度の異方向性を明らかにする。さらにそれらの成果を用いて、工学的に重要な意義をもつてある c/p 値（ここに c : 非排水せん断強度、 p : 圧密圧力）の意味を考察する。

なおこの論文に引用するデータは、筆者がノルウェー土質工学研究所 (Norwegian Geotechnical Institute, 以下略して NGI) に滞在期間中に行なったものの中から選んでいるが、解析のためにこれらを引用できるのは同研究所長 Bjerrum 博士のご好意によつていることを付記して謝意を表する。

2. 装置と試料

(1) 三軸ベーンせん断試験機

この試験機は、三軸応力状態にある土試料のベーンせん断強度を測定するために、NGI で研究開発されたもので、その詳細は文献 6) 図-1 三軸ベーン試験機の概略に報告されているのでここで概略のみを説明する。その原理は図-1 に示すように、三軸セル中で圧密（等方または異方向圧密）を完了させた試料中に、底部よりベーンを貫入し、ベーンの軸をモーターによって回転し、その時の回転角とトルクを測定するもので、つぎのような特徴をもつてゐる。すなわち i) 試料に作用する応力を任意に選ぶことができる、ii) ベーンの回転速さはモーターとギヤー・ボックスの組み合わせにより $0.12\sim360^\circ/\text{min}$ の範囲に変えることができる、iii) 測定トルクの範囲は粘土の強度に応じて変えられ、せん断強度の測定可能値は約 1.4 kg/cm^2 とかなり大きい。



* 土木学会第 21 回年次学術講演会にて一部発表、昭 41-5

** 正会員 工博 京都大学助教授 工学部交通土木工学教室

(2) 試験法と試料

乱さない粘土に関しては底面積 20 cm², 高さ 10 cm の円柱形に成形した試料を三軸セル中にセットする。また乱した粘土の成形法は、液性指数 0.8 程度の含水比で十分に練り返したのち、底面積 20 cm², 高さ 12 cm のモールド内で突き固めたものを三軸セル底板のペデスタル上にセットし、高さを 10 cm にそろえる。そして通常の三軸圧縮試験と同様の操作で圧密するが、圧密時の主応力 σ_{1c} , σ_{3c} は任意に変えうるので、圧密応力比 $K = \sigma_{3c}/\sigma_{1c}$ を 1.0~0.4 程度の範囲内で選んでいる。このように、 $K=1.0\sim0.4$ の範囲内には K_c 圧密(試料の断面積が圧密過程中を通じて不变に保たれるように K を調節する)による試験も含まれている。

圧密が完了すると、ベーンを試料底部から中央部まで貫入して試験を開始するが、その際にベーンを貫入してからただちにせん断を始めるものと、ベーンを貫入したために発生する過剰間げき水圧の消散(すなわちベーン貫入による試料の圧密)をまってから行なうものの 2 種類がある。これらの試験法は説明を簡単にするために、本文中ではつぎの記号を使用する。

- i) CI(U) 試験：等方向圧密が完了すると試料よりの排水コックを開じ、ベーン貫入後ただちにせん断を行なう。(U) はベーン貫入による圧密を許さない意味で用いる。
- ii) CI(C) 試験：等方向圧密した試料にベーンを貫入し、それによる圧密が終ってから排水コックを開じてせん断試験を行なう。(C) はベーンを貫入したために試料中に生じる圧密を許す意味で用いる。
- iii) CA(U) 試験：試料を異方向圧密する点を除けば上述 i) の方法と同じである。
- iv) CA(C) 試験：試料を異方向圧密する点を除けば上述 ii) の方法と同じである。

ベーンの寸法は $D \times H$ (カッコ内は D/H) が 8×32 (0.25), 8×16 (0.5), 8×8 (1.0), 12×8 (1.5), 16×8 mm (2.0) の 5 種類の中から選んで使用した。ベーンの回転速度がせん断強度におよぼす影響もあわせて調べているが、この論文ではすべて標準速さ 6°/min の試験でえたものに限っている。

試験に用いた試料土は、カオリンと乱さない 2 種類の粘土で、その基本的性質を表-1 に示す。この表中、鋭敏比は fall-cone 試験より求めた値である。

3. ベーンせん断抵抗の考察

正規圧密粘土のせん断強度 τ_f は、式(2)で表現され

るよう、モビライズされたせん断強度パラメーター φ_m' およびせん断面上の垂直全応力 σ_N とせん断面に発生している間げき水圧 u_f の差できる。ところで現存するベーン試験の測定結果から計算で求まるのは τ_f のみであって、 σ_N, u_f のいずれをも正確に測定することはむずかしいので、 τ_f がいかなる応力状態に対応する値であるかは不明である。 u_f の測定は Wilson⁵⁾ によって試みられているが、粘土については信頼できる値がまだえられないし、仮りにそれが可能になっても破壊時の σ_N は複雑でわからない。このような事情から、ベーン試験は粘土の非排水せん断強度を測定するものという従来の概念に対して疑問が提起されたことがある⁷⁾。

ここではベーン試験の際の最大トルクから τ_f を計算するための Cadling の式の妥当性を検証したのち、ベーン試験と定体積直接せん断試験結果を比較することによって、ベーン試験時の応力状態を間接的に推定する試みを述べる。

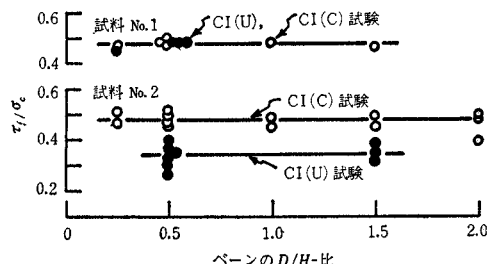
(1) Cadling の式の検証

ベーン試験で測定されるトルク M から、せん断強度 τ_f を計算するための Cadling の式(1)を、等方圧密試料を用いて検証する。等方圧密試料ではせん断強度の異方向性が無視できると考えられるので、式(1)にて $\tau_H = \tau_V = \tau_f$ とおき、両辺を圧密圧力 σ_c で割れば次式がえられる。

$$\frac{\tau_f}{\sigma_c} = \frac{2M}{\pi D^2 H} \frac{1}{\left(1 + \alpha \frac{D}{H}\right)} \quad \dots \dots \dots (3)$$

ゆえに α を一定と仮定し、ベーン寸法 D/H と圧密圧力 σ_c を種々に変えて同一の τ_f/σ_c 値がえられるならば、ベーン試験の解析に式(1)を適用してもよいという必要条件が満足できる。

図-2 ベーン寸法 D/H を変えた場合のベーンせん断強度 τ_f と圧密圧力 σ_c の比



実験は試料 No. 1, 2 につき、等方圧密圧力ならびにベーンの寸法を数種類に変化せしめて、CI(U) および CI(C) の両試験を実施した。図-2 は式(3)中の $\alpha = 0.30$ においてえられた τ_f/σ_c を D/H に対してプロットしたものである。

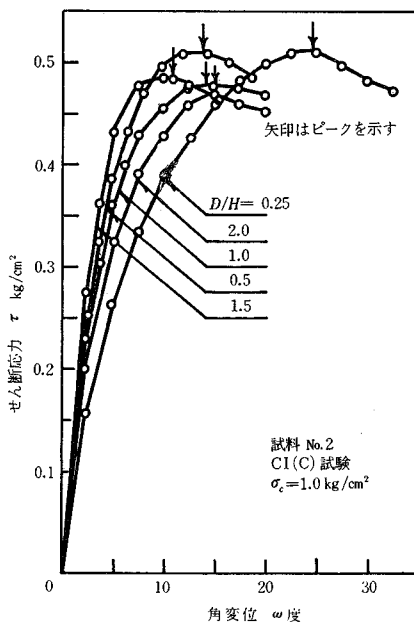
表-1

試料番号	土の名称	w_L (%)	w_P (%)	I_P (%)	$<2\mu$ (%)	活性度	鋭敏比	深度(m)
No. 1	カオリン	61.6	34.3	27.3	88	0.31	—	—
No. 2	乱さないオスロー粘土(A)	28.7~36.2	18.4~23.2	7.8~14.3	42	0.19~0.34	20~50	4.2~9.6
No. 3	乱さないオスロー粘土(B)	33.2~38.3	19.0~21.1	14.2~17.2	31	0.46~0.55	25~85	5.6~7.3

したものであり、また図-3はペーン試験よりえられるせん断応力 τ ～角ひずみ ω の関係の例示である。これらの結果ならびに α に関する考察よりつぎのことが判明する。

(1) ペーン寸法と圧密圧力の相違にかかわらず、同じ試料、試験法に対しては、乱さない試料No.2では散らばりが大きいが、ほぼ一定の τ_f/σ_c がえられる。各試料に対する τ_f/σ_c の値は表-2の第3欄に示す。

(2) 試料No.1では試験法の差、すなわちCI(U)とCI(C)の差は τ_f/σ_c 値には影響を与えないが、乱さない試料No.2ではその影響があらわれ、(C)試験が(U)試験によるものより約1.4倍大きくなる。これはペーン貫入による粘土の圧密の有無がせん断強度に与える影響を示すもので、この現象については後述する。

図-3 ペーンせん断応力と角変位 ω の関係

(3) 図-3は τ ～ ω 関係の典型例であるが、このような破壊時の角ひずみ ω_f に関する試験結果を全部まとめると、 $D/H=0.5\sim 2.0$ のペーンでは $\omega_f=8\sim 15^\circ$ の範囲にあり、 $D/H=0.25$ の細長いペーンでは $\omega_f>20^\circ$ であった。ペーン寸法が極端に細長いか太く短い場合には、進行性破壊によって ω_f が大きくあらわれる現象は原位置試験でも観察されており、結局これらを総合するとCadlingの式が適用できるのは $0.25 < D/H < 2.0$ の範囲内のペーンを使用した場合に限られる。そしてこの範囲外のペーンに対してはやや低目の τ_f を与えるものと考えられる。

(4) 式(1)中の α はペーン端面の応力分布形によってきまる性質のものであり、図-2における τ_f の計算には $\alpha=0.30$ (だ円形分布)を仮定した。しかし $\alpha=$

表-2

試料番号	三軸ペーン試験			定体積直接せん断試験			σ_N'/σ_c 式(7)
	試験法	τ_f/σ_c	t_f (min)	$\tan \varphi_m'$	σ_N'/σ_{hc}	t_f (min)	
No. 1	CI(U) CI(C)	0.49 (0.46~0.51)	3~6	0.51	0.5	3~4	0.96 (0.9~1.0)
No. 2	CI(U)	0.35 (0.27~0.41)	3~5	0.34 (0.24~0.40)	0.6	50~550	1.03 (0.8~1.2)
	CI(C)	0.48 (0.44~0.52)	3~9	—	—	—	(1.3~1.5)

注: ()内の数字は範囲を示す

表-3

D/H	τ_f		
	$\alpha=0.25$ (三角形分布)	$\alpha=0.30$ (だ円形分布)	$\alpha=0.33$ (く形分布)
0.25	1.013	1.000	0.994
0.5	1.021	1.000	0.986
1.0	1.040	1.000	0.975
1.5	1.057	1.000	0.968
2.0	1.066	1.000	0.960

注: $\alpha=0.30$ の τ_f を規準として計算

0.25(三角形分布)と $\alpha=0.33$ (く形分布)を仮定した場合の差は表-3に示すように、ペーン寸法によても異なるが、大体4%以内である。通常使用されるペーン($D/H=0.5$)では、 α の選び方によって τ_f に生じる差は約2%できわめて小さい。

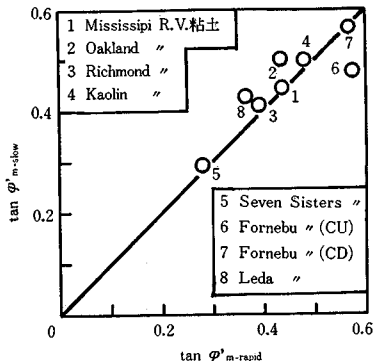
(2) ペーン試験時の応力状態

圧密平衡状態にある粘土中にペーンを貫入し、それを回転してせん断変形を生じさせると、ペーン周辺の土中の応力はかく乱される。一方、ペーン試験による τ_f の意味を明確にするためには、前述したように、せん断面上の応力を知る必要があるので、ここで全応力と間げき水圧の変化に関する知識を整理しておく。ただし以下の考察においては正規圧密粘土を対象とし、全応力、間げき水圧はいずれもすべり面上に作用するものを指している。

a) 間げき水圧の変化 ペーンを貫入したための変化 Δu_p と、せん断変形による変化 Δu_s がある。これらはともにいったん発生したものが周辺粘土中に向って消散するので、周辺粘土は吸水膨張しようとする。そして破壊時の間げき水圧の値はせん断の際の変形速さと粘土の透水係数によって左右される。

b) 全応力の変化 ペーンを貫入したための変化 $\Delta \sigma_p$ と、せん断変形による変化 $\Delta \sigma_s$ がある。このうち $\Delta \sigma_s$ に関しては、変形が進むにしたがってせん断領域にある粘土の圧縮性が増すので、せん断域をとりまく粘土がペーンの中心軸に向って収縮しない限り $\Delta \sigma_s < 0$ となるであろう。またKenney⁷⁾の推論によれば(1)に述べたように周囲の粘土が吸水膨張するためにアーチング作用を誘発して、 $\Delta \sigma_s < 0$ となる傾向を助長する。

以上(1),(2)の現象を考慮すると、破壊時に破壊面に作用する垂直有効応力の変化 $\Delta \sigma'_N$ は、次式に要約され

図-4 変形速度の遅速による内部摩擦角 φ'_{m} 

結果の解釈に注意を要する。

4. せん断強度の異方向性の測定

正規圧密状態にある粘土地盤中の、ある点に作用している水平方向と鉛直方向の応力は互いに等しくならず、その比はほぼ 0.5 程度であるといわれている。ゆえにこのような異方向圧密をうけている粘土地盤中でペーン試験を実施すると、ペーンによる破壊の両端面と円筒側面とでは、それらの面に作用する垂直有効応力が異なるために、測定されたせん断強度に差が生じうる。この現象をせん断強度の異方向性と呼ぶことにして、自然地盤の強度の異方向性を調べる目的で多数の原位置ペーン試験が実施されたことがある⁸⁾。そしてその際に採用された解析原理はつきのようである。

式(1)を変形すると、

$$\frac{2M}{\pi D^2 H} = \tau_V + \alpha \cdot \tau_H \cdot \frac{D}{H} \quad \dots \dots \dots (8)$$

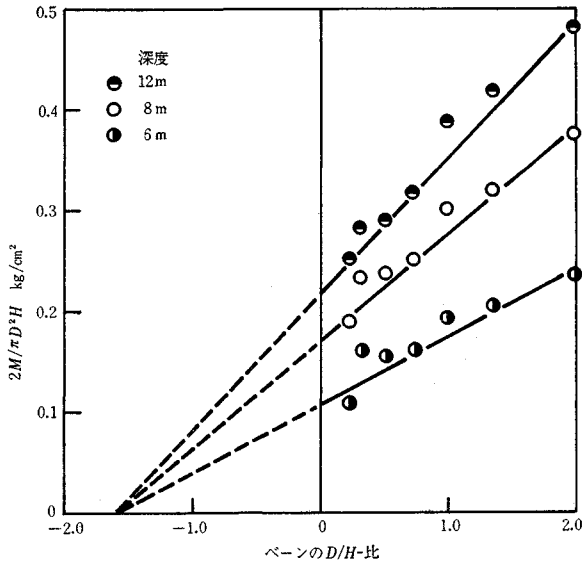
この式はペーンの D/H 比を種々に変えた測定結果を、 $2M/\pi D^2 H$ と D/H の関係にプロットすれば両者の間に直線関係が成立し、その直線の傾斜は $\alpha \cdot \tau_H$ を、また縦軸との切片長は τ_V の値を与えることを表わしている。さらに鉛直面と水平面上のせん断強度の比 τ_V/τ_H は $2M/\pi D^2 H=0$ としたときの D/H の値からただちに、

$$\frac{\tau_V}{\tau_H} = -\alpha \left(\frac{D}{H} \right)_{2M/\pi D^2 H=0}$$

として求められる。

図-5 はペーンの D/H を 0.22 から 2.0 の範囲で 7 種類に変えた原位置試験結果を式(8)の左辺 $2M/\pi D^2 H$ と D/H の関係にプロットした例で、実際には G.L. -20 m までの深度方向に 50 cm 間隔で行なわれているが、簡単のために 3 点のみ選んで示してある。この図によれば深度別にそれぞれ異なる直線関係がえられ、しかも各直線は D/H 軸上の 1 点 ($D/H=-1.5$) で交わるとみてよい。したがって強度の異方向比 τ_V/τ_H は深度方向に一定となり、 $\alpha=0.3$ の仮定に対し $\tau_V/\tau_H=0.45$ がえられる。 τ_V/τ_H は α の選び方によって（すなわち

図-5 原位置ペーン試験結果の解析例



ペーン端面での応力分布形の仮定によって）若干の変動を示すが、いずれにしても $\tau_V/\tau_H < 0.5$ となることは明らかである。

以上に例示したように、正規圧密粘土地盤の原位置試験によって、せん断強度の異方向性が実証されているので、この現象を室内試験によってさらに詳細に検討することにした。

(1) 水平面上のせん断強度 τ_H

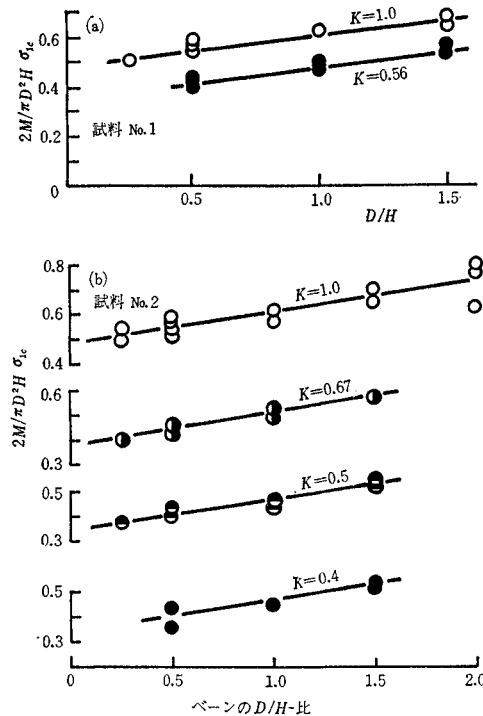
水平面上のせん断強度すなわちペーン端面で測定される τ_H の特性を明らかにするために、ペーンの寸法 D/H ならびに試料の圧密応力比 $K=\sigma_{3c}/\sigma_{1c}$ (ここに σ_{1c}, σ_{3c} はそれぞれ最大、最小主応力) を種々に変えた試験を実施した。ただし、ここで述べる $K=1$ の場合は、3. の結果と重複している部分もある。結果の解析には式(8)の両辺を σ_{1c} で割ってえられる次式を用いた。

$$\frac{2M}{\pi D^2 H} \frac{1}{\sigma_{1c}} = \frac{\tau_V}{\sigma_{1c}} + \alpha \cdot \frac{\tau_H}{\sigma_{1c}} \frac{D}{H} \quad \dots \dots \dots (9)$$

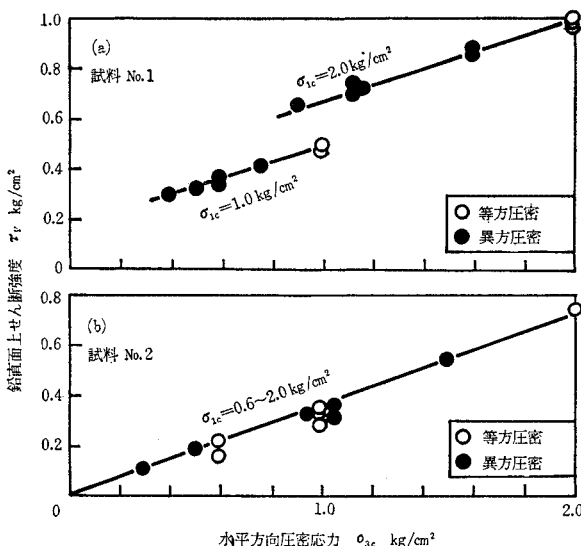
試料 No. 1 については圧密応力比 K を 1.0 と 0.56 (ただし $\sigma_{1c}=1.0 \text{ kg/cm}^2$ は共通) で圧密したものにつき、ペーン寸法を $D/H=0.5, 1.0, 1.5$ の 3 種類に変えて、また試料 No. 2 では $K=1.0, 0.67, 0.5, 0.4$ (ただし $\sigma_{3c}=1.0 \text{ kg/cm}^2$ は共通) で圧密したものにつき、ペーン寸法を $D/H=0.25, 0.5, 1.0, 2.0$ の 4 種類に変えて行なった。

図-6 は CI(C), CA(C) 試験結果を $2M/\pi D^2 H \sigma_{1c}$ と D/H の関係にプロットしたもので、圧密応力比 K がパラメーターにとってある。式(9)に示したごとくこれら直線の傾斜は $\alpha \cdot \tau_H / \sigma_{1c}$ の値を表わしているが、同図(a), (b) より判明するごとく、 K の値のいかんにかかわらずそれぞれの試料についてみれば、ほぼ平行な直線

図-6 三軸ベーン試験結果の解析例 CI(C), CA(C) 試験



群がえられることから、 $\alpha \cdot \tau_H / \sigma_{1c}$ の値は一定とみられる(試料 No. 1 : $\alpha \cdot \tau_H / \sigma_{1c} = 0.12$, No. 2 : 0.13)。このことは α を一定と仮定すれば τ_H は σ_{3c} とは無関係に、 σ_{1c} に比例して増加することを意味している。換言すれば σ_{3c} はベーン端面に生じるすべり面に対して平行に作用する中間主応力であるのに対し、 σ_{1c} はすべり面上の垂直応力であるから、正規圧密粘土のせん断強度が中間主応力の影響をうけずに、垂直応力に比例して増加す

図-7 鉛直面上のせん断強度 τ_V と水平方向圧密応力 σ_{3c} の関係

る関係を示すものと解釈することができる。

(2) 鉛直面上のせん断強度 τ_V

現在使用されている原位置ベーンの寸法は $D/H=0.5$ のものが多く、しかも試験結果の慣用的な解析法で求まる τ_f は、後述するようにベーン側面のせん断強度 τ_V で近似されるので、 τ_V の特性を把握することはベーン試験結果の意味を解明するための手掛かりを与えることになる。

さて前述図-6 のように $2M/\pi D^2 H \sigma_{1c} \sim D/H$ 関係の整理をすれば、縦軸との切片長として τ_V / σ_{1c} がえられるので、この方法で求めた τ_V をもとに以下の考察を進めることにする。

図-7(a) は試料 No. 1 に対し、 $\sigma_{1c}=1.0, 2.0 \text{ kg}/\text{cm}^2$ のそれぞれの場合に K を $0.4\sim1.0$ の範囲に変えた CI(U), CA(U) 試験結果を $\tau_V \sim \sigma_{3c}$ 関係にプロットしたものである。また図-7(b) は試料 No. 2 に対し、 $\sigma_{1c}=0.6\sim2.0 \text{ kg}/\text{cm}^2$ の範囲で $K=0.47\sim1.0$ に変えた CI(U), CA(U) 試験結果を $\tau_V \sim \sigma_{3c}$ 関係に示したものである。これらの関係は両試料とも直線となるが、試料 No. 1 と No. 2 の間にみられる顕著な差異は、前者では最大圧密圧力 σ_{1c} の大きさに応じて異なる直線上にプロットされるのに対し、後者では σ_{1c} の大きさとは無関係に $\tau_V \sim \sigma_{3c}$ 関係が原点を通る直線となることである。以下にこの差異の原因を考えてみる。

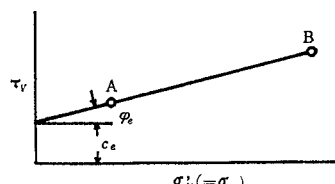
図-7 よりつぎの経験式が成立する。

$$\tau_V = C_{va} + \sigma_{3c} \cdot \tan \varphi_{va} \quad \dots \dots \dots (10a)$$

または、

$$\frac{\tau_V}{\sigma_{1c}} = \frac{\tau_H}{\sigma_{1c}} + (K-1) \tan \varphi_{va} \quad \dots \dots \dots (10b)$$

ただし、 C_{va}, φ_{va} は $\tau_V \sim \sigma_{3c}$ 直線の τ_V 軸との切片長および傾斜角である。この式において φ_{va} は粘土の種類によってきまり、その粘土では c_{va} は圧密最大主応力 σ_{1c} によって影響される性質のものである(ただし、試料 No. 2 では $c_{va}=0$)。また 4.(1) で述べたように τ_H / σ_{1c} は K とは無関係に一定とみられるから、式 (10 b) によって、 τ_V / σ_{1c} は K の一次関数で表わされることがわかる。したがって図-7 にみられたように、試料の違いによる $\tau_V \sim \sigma_{3c}$ 特性の相違は、式 (10) の意味を以下の手法で明らかにすることによって、ある程度の説明が与えられるであろう。

図-8 $\tau_V \sim \sigma_{3c}$ 関係の模式図

いま、ある試料についてえられた $\tau_V \sim \sigma_{3c}$ 関係を模式的に描いた図-8において、点 A,B は σ_{1c} が共通で σ_{3c} が異なる2個の供試体の τ_V を表わすものとする。そしてこれら両点において i) せん断面付近の含水比が等しく、ii) せん断面に作用する垂直有効応力 $\sigma'_{N'}$ は σ_{3c} に等しく、かつ iii) τ_V に与える中間主応力の影響は無視しうるという3つの仮定が満足されるならば、Hvorslev の有効粘着成分 c_e は両点で共通であり、 τ_V の差は垂直有効応力 $\sigma'_{N'} = \sigma_{3c}$ の差のみによって生じることになるので、式(10)は Hvorslev のパラメーターと関連づけられて $c_{va} = c_e$, $\varphi_{va} = \varphi_e$ となるはずである。ここに φ_e は有効摩擦角である。

試みに式(10)中のパラメーターと O’Neil⁹⁾(試料 No. 1) および Simons¹²⁾ と Landva¹⁰⁾ (試料 No. 2) によってえられた Hvorslev のパラメーターを実際に比較してみると、

試料 No. 1 : $c_{va}/\sigma_{1c} = 0.16$ に対し $c_e/p_e = 0.1$

(ただし p_e は等価圧密圧力)、

$$\tan \varphi_{va} = \tan \varphi_e = 0.35$$

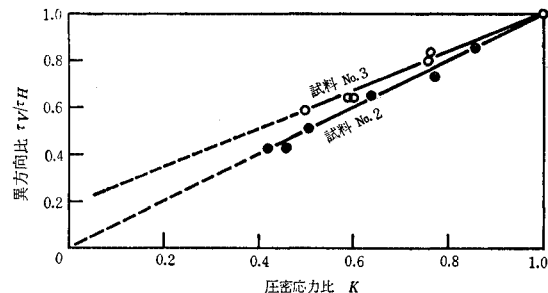
試料 No. 2 : $c_{va} = c_e = 0$, $\tan \varphi_{va} = \tan \varphi_e = 0.34$

となり、試料 No. 1 の c_{va} を除き、他の場合はよい一致を示しているといえよう。しかし上記3つの仮定の妥当性を検討すると、i) 図-8 の A,B 両点では σ_{1c} が共通であるから供試体の平均含水比はほぼ等しいが(試料 No. 1 の $\sigma_{1c} = 1.0 \text{ kg/cm}^2$ の場合を例にとると、 σ_{3c} が $1.0 \sim 0.4 \text{ kg/cm}^2$ の範囲に変わっても含水比の変化は、44.3~44.7% ときわめてわずかであった)、せん断面付近の含水比については不明であること、ii) せん断に作用する垂直有効応力 $\sigma'_{N'}$ は 3.3 で述べたように CI(U) 試験では $\sigma'_{N'} \approx \sigma_{3c}$ であったが、CA(U) 試験ではその実証がないこと、および iii) 中間主応力が τ_V に与える影響はベーン試験時のせん断破壊機構に対して無視できるという実証がないことの理由から、仮定の妥当性を厳密に立証することは困難である。しかもここに用いた試料は塑性の低い粘土であるから、さらに多種類の粘土を用いて比較しなければ一般的な結論は導かれないと想定される。ただし σ_{1c} とは無関係に $\tau_V \sim \sigma_{3c}$ の一義的な関係のえられた試料 No. 2 のように PI がかなり低く、Hvorslev のパラメーター $c_e = 0$ の粘土では、粘着成分は小さいせん断ひずみで消滅し、摩擦成分のみがベーンの τ_V に寄与するという推定は許されるであろう。

(3) せん断強度の異方向比 τ_V/τ_H

自然堆積地盤のせん断強度が異方向性を有している現象は、圧縮試験、直接せん断試験あるいは原位置ベーン試験^{13), 14), 8)}によって調べられ、これら測定結果はたとえば斜面の安定解析などに応用されている¹⁴⁾。前節までに水平と鉛直方向のせん断強度 τ_H, τ_V に関する個々の性質を明らかにできたので、ここではそれらの

図-9 せん断強度の異方向比 τ_V/τ_H と圧密応力比 K の関係



結果を利用して異方向比 τ_V/τ_H について考察することにする。

図-9 は乱さない試料 No. 2,3 について、 τ_V/τ_H 比を圧密応力比 K に対してプロットしたものである。この図によれば $K=1$ (等方圧密) で $\tau_V/\tau_H=1$ (等方性) を始点として、 K の減少とともに τ_V/τ_H は直線的に減少するほか、土の種類によってその直線の傾斜が異なることがわかる。この傾斜に関しては、PI が低くて Hvorslev のパラメーター $\kappa \approx 0$ の粘土 No. 2 では $\tau_V/\tau_H = K$ であるが、PI が大となるにしたがって粘着成分が無視できなくなるので、その傾斜がゆるく、せん断強度の異方向性が少くなるものと考えられる。また原位置における τ_V/τ_H は K_0 (静止土圧係数) に対応するものであるから $K_0 \sim PI$ 関係について考えてみると Jakey¹⁵⁾ の $K_0 = 1 - \sin \varphi'$ において φ' は PI とともに減少することが判明している¹⁶⁾ ので、 K_0 は PI とともにわずかではあるが増加する。したがって原位置における τ_V/τ_H は PI とともに大きくなる (強度の異方向性が少なくなる) ことが予想される。

図-10 せん断強度の異方向比 τ_V/τ_H , 静止土圧係数 K_0 と塑性指数の関係

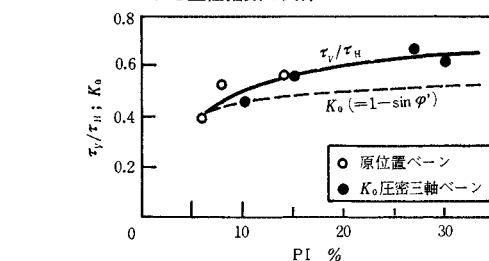
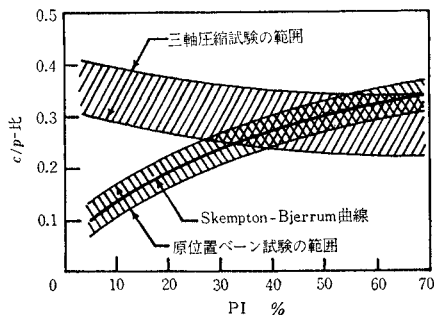


図-10 は K_0 圧密試料についての三軸ベーンや原位置試験よりえられた従来のデータを集めて解析し τ_V/τ_H を PI に対してプロットしたものである。図中破線の曲線は $K_0 = 1 - \sin \varphi'$ をもとに計算した K_0 の推移を示している。この図によれば、PI が 10 以下の低塑性粘土ではせん断強度の異方向性が顕著に発揮されて $\tau_V/\tau_H = K_0$ とみなしてよいが、 τ_V/τ_H と K_0 の差は PI が大きくなるほど増大することがわかる。そしてわが国の沖積粘土では PI=40~80% のものが多いといわれている¹⁷⁾ので、 τ_V/τ_H 比は 0.7 以上となることが予想される。

5. ベーン試験による c/p 値

圧密による粘土地盤の強度増加量を推定するための手法は、その地盤の c/p 値を知ることが基本となっている。そしてこの値を原位置ベーン試験によって求めた結果は、たとえば図-11に描くように PI の増加とともに大きくなるという Skempton-Bjerrum 曲線が提案されている。一方、三軸圧密非排水せん断試験によれば図-11 の右下り斜線部で示すように、PI とともに c/p 値が小さくなることもすでに判明している¹⁶⁾。このように原位置ベーンと三軸圧縮試験の結果が、特に低塑性で鋭敏比の高い粘土で一致しないことの主原因は、室内試験で試料を再圧密するに際して、土の構造が乱されて密に締まり、大きいせん断強度がえられるためといわれている¹⁸⁾。

図-11 原位置ベーンせん断試験、三軸圧縮試験による c/p と塑性指数の関係



三軸ベーン試験機を用いれば、試験開始時に同じ応力状態と構造をもつとみられる試料について、三軸圧縮とベーンせん断の両試験を行なうことができるので、上述の主原因とされている事項を検討するとともに、ベーン試験で求められる c/p 値の意味について考察する。

(1) c/p 値と圧密応力比

ベーン試験より c/p 値を算定するには、

$$\frac{c}{p} = \frac{1}{\left(1 + \frac{1}{3} \frac{D}{H}\right)} \frac{2M}{\pi D^2 H} \frac{1}{p} \quad \dots \dots \dots (11)$$

が慣用されている。この式は、式(1)において $\tau_H = \tau_V = c$ 、かつ $\alpha = 1/3$ として導かれたものであるが、前述のごとく $K=1$ の場合を除いて水平方向と鉛直方向のせん断強度は異なるために、 $\tau_H = \tau_V$ なる仮定はあてはまらない。そこでこのような慣用法で求まる c/p 値の内容を τ_V, τ_H を用いて表わすと、 $p = \sigma_{1c}$ であるから、

$$\frac{c}{p} = \frac{c}{\sigma_{1c}} = \frac{1}{\left(1 + \frac{1}{3} \frac{D}{H}\right)} \left[\left(\frac{\tau_V}{\sigma_{1c}} \right) + \frac{1}{3} \frac{D}{H} \left(\frac{\tau_H}{\sigma_{1c}} \right) \right] \dots \dots \dots (12)$$

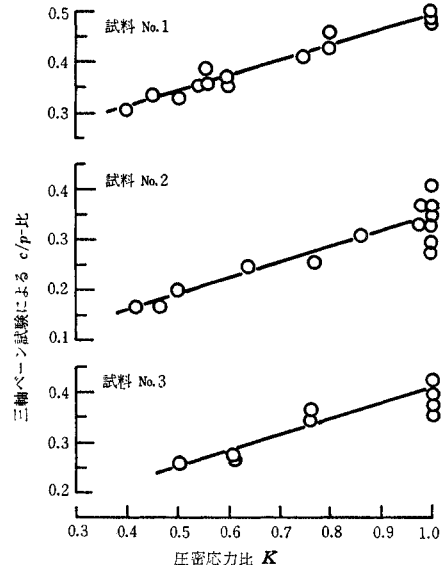
となる。したがって式(12)に式(10b)を代入すると

$$\frac{c}{p} = \frac{\tau_H}{\sigma_{1c}} + \frac{1}{\left(1 + \frac{1}{3} \frac{D}{H}\right)} (K-1) \cdot \tan \varphi_{va} \quad \dots \dots \dots (13)$$

をうる。

式(13)において、右辺第1項の τ_H/σ_{1c} は 4.(1)で説明したように K とは無関係に一定とみてよいから、 c/p 値は K の関数であり、 K の減少とともに直線的に低下する。図-12は試料 No. 1, 2, 3 について CI(U), CA(U) 試験でえた c/p 値を K に対してプロットしたもので、乱さない試料では散らばりが多いが、 c/p 値は K が減少するにつれてほぼ直線的に低下するとみることができる。

図-12 三軸ベーン試験による c/p 比と圧密応力比 K の関係



つぎに常用されているベーンについて、 c と τ_V の関係を調べるために式(12)に $D/H=1/2$ を代入すると、

$$\frac{c}{\tau_V} = \frac{1}{7} \left(6 + \frac{\tau_H}{\tau_V} \right)$$

をうる。この式中 τ_H/τ_V は、わが国の沖積粘土では、 $\tau_V/\tau_H \approx 0.7$ とみられることを 4.(3)において述べたので、これを用いると $c/\tau_V \approx 1.06$ となる。すなわち、 $c=\tau_V$ とおくことによって生じる誤差は 6% 程度とかなり小さいことがわかる。この計算では $\alpha=1/3$ と仮定しているが、Schmertman¹⁹⁾ のように $\alpha=1/4$ を仮定すれば、その誤差はさらに小さく 5% 以下となる。

(2) 原位置と室内試験の比較

乱さない試料 No. 2, 3 に関しては、原位置ベーン試験の豊富なデータがそろっているほか、三軸セル中で K 圧密したものについての三軸ベーン試験をそれぞれ 3~5 個実施しているので、これをもとにして原位置と室内のベーン試験結果を比較することができる。また、Oslo の Skabo 粘土 ($w_L \approx 50\%$, $I_p \approx 30\%$, 深度 10 ~ 13 m) について、 $K=1$ と $K=K_0$ の場合の三軸ベーン試験結果が Landva²⁰⁾ によって報告されているので、このデータもあわせて解析に引用する（便宜上、この粘土を試料 No. 4 とする）。

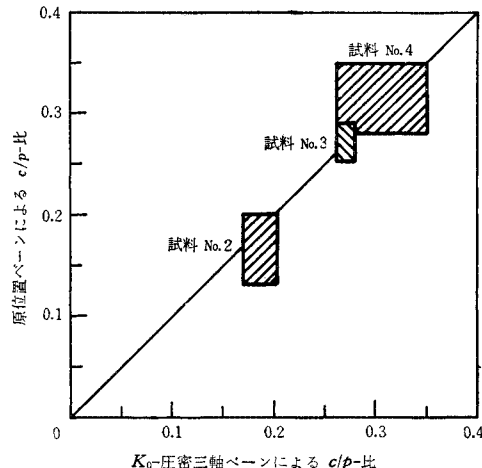
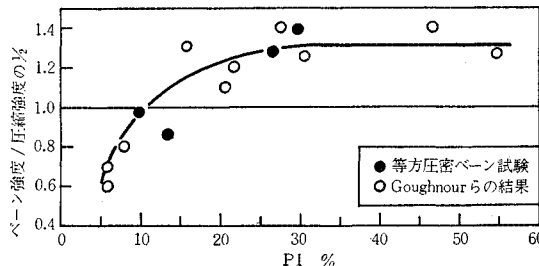
図-13 原位置ベーンと K_0 圧密三軸ベーン試験結果の比較

図-13 は原位置ベーンと K_0 圧密三軸ベーンによる c/p 値を 3 種類の試料について比較したもので、プロットされた点がそれぞれのく形斜線部分に集中することを示している。図によれば散らばりの範囲は大きいが、両者の対応は 45 度線近傍に集まるので、原位置と K_0 圧密ベーンとでは互いに等しい c/p 値を考えるとみなしてよい。これは地中より採取した粘土を室内で再圧密したための高密度化による強度への影響が、No. 2 のように低塑性粘土でも、従来考えられていたほど顕著ではないことを示すものである。

原位置ベーンと室内三軸圧縮試験による c/p 値に差を生じることの主原因が、図-13 にみられたように試料の再圧密によるものでないとするならば、他に原因を求めるべきならないが、筆者は少なくともつぎの 2 つの現象に起因すると考えている。すなわち、

図-14 多種類の粘土を用いたベーンと圧密試験の比較



i) 等方圧密 ($K=1$) した同一の試料に対してベーンと圧密試験を行ない、両試験による強度の比を求めるところ-14 に示すように粘土の種類によってその比が異なる。ただし図-14において●印は CI(U) ベーン試験と圧密非排水三軸圧縮試験の比であり、○印は Goughnour ら²¹⁾によって行なわれたベーンと一軸圧縮試験の比である。この図より、低塑性粘土では $K=1$ の場合でもベーンが圧縮試験より小さい強度を与える傾向のあることがわかる。

ii) 圧縮試験による c/p は圧密応力比 K の変化によってあまり差がみられないのに対し、ベーンによる c/p は 5.(1) で述べたように、低塑性粘土ほど K の影響を顕著にうける。ゆえに原位置ベーンあるいは K_0 圧密三軸ベーンによる c/p は圧縮試験で求めた値よりも低くなる。

以上 2 つの現象が重なりあって、原位置ベーンによる c/p 値は、PI の低い粘土では圧縮試験による値よりも小さくあらわれるものと考えるが、i) の現象の物理的意味は単純せん断に近いベーンと、純粹せん断に近い圧縮試験とのせん断機構の相違による強度への影響を解明しなければ、説明が困難であろう。なお単純と純粹せん断試験による強度の差は、破壊時のひずみと粘土のダイレイタンシーによって左右されるという $L_0^{22})$ の理論的研究があることを付記するにとどめ、今後の成果に期待したい。

6. 結　　び

おもな結論を要約するとつぎのようである。

(1) ベーン試験解析の基本となっている Cadling の式 (1) が適用できるのは $D/H=0.25 \sim 2.0$ の範囲内に限られ、この範囲外の極端に細長いか太く短いベーンでは、破壊ひずみが大きく強度も小さく測定される。

(2) ベーン試験と体積直接せん断試験を比較した結果、ベーンせん断面上の垂直有効応力は圧密応力 σ_c にはば等しくなる。このことはベーン試験が従来考えられており、必ずしも非排水強度を測定するものではなく、使用した粘土ではむしろ排水強度に近い値を与えることを意味している。ことにベーンを貫入してからせん断開始までに放置期間をはさむと、その間にベーン貫入のために周辺粘土中で圧密現象が起こり、強度がかなり大きくなることがある。

(3) 水平面上のせん断強度 τ_H は鉛直方向の圧密応力 σ_{1c} に比例して増加し、水平方向の圧密応力 σ_{3c} とは無関係である。一方、鉛直面上のせん断強度 τ_V は σ_{3c} に比例して増加し、 σ_{1c} の影響は粘土の種類によって異なる。そしてせん断強度の異方向性 τ_V/τ_H は低塑性粘土ほど顕著に発揮され、塑性指数が 10 程度の粘土では τ_V/τ_H 比が静止土圧係数 K_0 にはば等しくなる。低塑性粘土では、破壊時における粘着成分の寄与が無視できるほど小さいことがその原因と考える。

(4) 圧縮試験による c/p 値は圧密応力比 K によってほとんど不变であるのに対し、ベーン試験で測定される c/p は K によって変化し、 K が減少するとほぼ直線的に低下する。そして原位置ベーンでは $K=K_0$ に対応する c/p を測定するので、特に低塑性粘土では、著しく低い値がえられることになる。

(5) わが国における沖積粘土では、原位置ベーン試

験でえられる強度 c は、鉛直面上あるいはベーン側面上のせん断強度 τ_v にはほぼ等しいとみてよい。このように $c=\tau_v$ としたときの誤差は 6% 以下である。

(6) 鋭敏な低塑性粘土でも“室内試験で再圧密する際の高密度化による強度増加現象”は従来考えられていたほど顕著ではない。圧縮試験とベーンせん断試験結果の不一致は、両試験におけるせん断機構の相違（純粋せん断と単純せん断）によるものと考える。

参考文献

- 1) Cadling, L. and S. Odenstad : The vane borer, an apparatus for determining the shear strength of clay soils directly in the ground, Proc. 2 of S.G.I., 1950
- 2) Gibbs, H.J. : Discussion on “Shear strength of undisturbed cohesive soils, ASCE Research Conference on Shear Strength of Cohesive Soils, 1960, pp. 1067-1069
- 3) Karlsson, R. : Suggested improvements in the liquid limit test, with reference to flow properties of remoulded clays, Proc. 5th Int. Conf. on S.M.F.E., Vol. 1, 1961, pp. 171-184
- 4) Eden, W.J. and J.K. Kubota : Some observations on the measurement of sensitivity of clays, ASTM, Proc. Vol. 61, 1961, pp. 1239-1249
- 5) Wilson, N.E. : Laboratory vane shear tests and the influence of pore water stresses, Laboratory shear testing of soils, ASTM STP No. 361, 1963, pp. 377-385.
- 6) Kenney, T.C. and A. Landva : Vane-triaxial apparatus, Proc. 6th Int. Conf. on S.M.F.E., Vol. 1, 1965, pp. 269-272
- 7) Kenney, T.C. : Interpretation and use of the vane test, a discussion of certain limitations and possibilities, N.G.I. Internal Report F. 252, 1963
- 8) Aas, G. : A study of the effect of vane shape and rate of strain of the measured values of in-situ shear strength of clays, Proc. 6th Int. Conf. on S.M.F.E., Vol. 1, 1965, pp. 141-145
- 9) O'Neil, H.M. : Direct-shear test for effective-strength parameters, ASCE Journal of S.M.F. Div., Vol. 88, No. SM 4, 1962, pp. 109-137
- 10) Landva, A. : Resultat av direkte skjaerforsøk med normal konsolidert siltig kvikkleire fra Manglerud, Oslo, N.G.I. Internal Report F.175, 1962
- 11) Whitman, R.V. : Discussion of “A theoretical consideration on a behaviour of sand”, by S. Murayama, Proc. Rheology and Soil Mechanics Int. Symposium, Grenoble, 1964, pp. 157-158
- 12) Simons, N.E. : Comprehensive investigations of the shear strength of an undisturbed Drammen Clay, ASCE Research Conference on Shear Strength of Cohesive Soils, 1960, pp. 727-745
- 13) Ward, W.H. et al : Further studies of the properties of London clay, Géotechnique, Vol. 9, No. 2, 1959, pp. 33-58
- 14) Lo, K.Y. : Stability of slopes in anisotropic soils, ASCE Journal of S.M.F. Div. Vol. 91, No. SM 4, 1965, pp. 85-106
- 15) Jáky, J. : Pressure in soils, Proc. 2nd Int. Conf. on S.M.F.E., Vol. 1, 1948, pp. 103-109
- 16) Bjerrum, L. and N.E. Simons; Comparison of shear strength characteristics of normally consolidated clays, ASCE Research Conf. on Shear Strength of Cohesive Soils, 1960, pp. 711-726
- 17) 綱干寿夫：盛土などの対策工，軟弱地盤の調査設計施工法，土質工学会編，1966，p. 187
- 18) Bjerrum, L. : The effective shear strength parameters of sensitive clays, Proc. 5th Int. Conf. on S.M.F.E., Vol. 1961, pp. 23-28
- 19) Schmertman, J.H. : Discussion of “Stability of slopes in anisotropic silts”, by K.Y. Lo, ASCE Journal of S.M.F. Div., Vol. 92, No. SM 1, 1966, pp. 199-207
- 20) Landva, A. : Sammenstilling av resultater fra triaksial- og triaksialvingeforsøk, N.G.I. Internal Report F. 175, 1962
- 21) Goughnour, R.D. and J.R. Sallberg : Evaluation of the laboratory vane shear test, Highway Research Record, No. 48, 1964, pp. 19-33
- 22) Lo, K.Y. : The effect of dilatancy on the shear strength of soils measured in the triaxial cell and the shear box, N.G.I. Internal Report F.32, 1960

(1966. 6. 3・受付)

正誤表

土木学会論文集136号(41年12月発行)市原松平著:「地震時モールの円とその擁壁土圧への適用について」に誤りがありましたのでつぎのように訂正します

ページ	個所	誤	正
25	「題目」の3行目	METHOD ITS	METHOD AND ITS
25	右側 26行目	$\tau = -\frac{1}{2}1/2 \cdot (\sigma_1 - \sigma_3)$	$\tau = -\frac{1}{2} \cdot (\sigma_1 - \sigma_3)$
27	左側 31行目	$(\sigma_v + c \cot \varphi) \tan \varphi \geq \tau_{uv} $	$(\sigma_v + c \cot \varphi) \tan \varphi \geq \tau_{uv} $
27	右側 25行目(下から11行目)	中心角 UOW=2λ	中心角 UCW=2λ
29	左側 8行目	$-\frac{2}{n^2 b^2} \{ \dots \dots \}$	$+\frac{2}{n^2 b^2} \{ \dots \dots \}$
29	左側 10行目	(ii) $\varphi = \beta_0 $ のとき,	(ii) $\varphi = \beta_0 $ のとき, $a=1, b^2=1$
29	左側 11行目	$n^2 = (1-b^2)/b^2$ (ただし $n>0$) とおくと,	全部とる。そして「+m すべり面は、」を入れる。
29	左側 12行目	$I_2 = -(b+1) \frac{1+\cos(2\psi-\beta_0)}{1+\sin(2\psi-\beta_0)}$	$I_2 = -(b+1) \frac{1+\cos(2\psi-\beta_0)}{b+\sin(2\psi-\beta_0)}$
29	左側 13行目	$+ \frac{4}{3}(b+1) \frac{1}{\left\{ \tan\left(\psi - \frac{\beta_0}{2} + \frac{1}{b}\right) \right\}^3}$	$+ \frac{4}{3}(b+1) \frac{1}{\left\{ \tan\left(\psi - \frac{\beta_0}{2} + \frac{1}{b}\right) \right\}^3}$
32	左側 2行目	μ面	u面

土木学会論文集編集委員会

委員長 委員員	村上永一 青木康政 秋山政忠 板倉敬興 ○池田忠平 岩井彦彦 岩橋洋平 宇都一馬 尾坂芳一 尾仲章 川上喜久 川崎浩司 神田徳郎 委員兼幹事 西脇威夫	副委員長 委員員	○都淳一 工藤尚男 工藤和夫 国広哲夫 小林一輔 是枝忍 佐々木道夫 沢口昌利 沢田健吉 桜井彰雄 白石成人 ○鶴祐祐之 清水達也	委員 委員 鈴木慶一 田中淳七郎 塚山隆一 堤椿東一郎 戸田嘉明 永井靖郎 永倉正一 南部祥一 中村英昭 中野昭雄 西野文雄 ○印部会長	委員 委員 鈴木慶一 田中淳七郎 塚山隆一 堤椿東一郎 戸田嘉明 永井靖郎 永倉正一 南部祥一 中村英昭 中野昭雄 西野文雄 ○印部会長	○西村俊一 西沼伸淳 西沼田鏡一 長谷川彦一 伯野元彦 服部昌太郎 宮田一夫 森本時一 持田竜一郎 山内博彦
------------	---	-------------	---	---	---	---

昭和42年2月15日印刷
昭和42年2月20日発行

土木学会論文集 第138号

定価 200 円(税込 20 円)

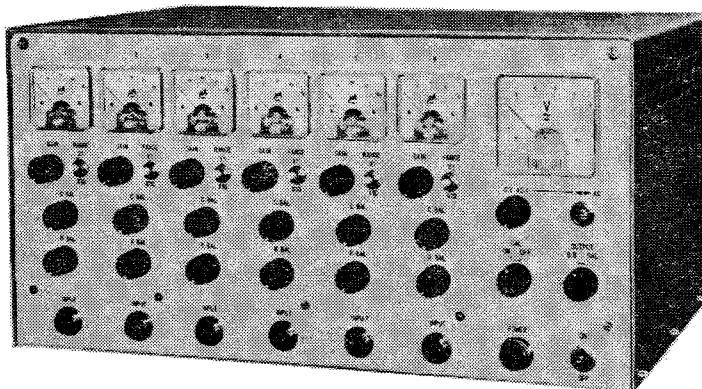
編集兼発行者 東京都新宿区四谷一丁目
印刷者 東京都港区赤坂1-3-6

社団法人 土木学会 羽田巖
株式会社 技報堂 大沼正吉

発行所 社団法人 土木学会 振替東京 16828 番

東京都新宿郵便局区内 新宿区四谷一丁目 電話(351)代表 5138 番

水理実験波高解析にどうぞ!!



(CA-101型 水位計増幅器)

☆波高計(抵抗式)と記録器をつなげばOK

☆簡単な取扱いで直線性良好

☆価格低廉

☆豊富な納入実績を持っています

カタログ請求先

計測技研株式会社

東京都武蔵野市中町3丁目29番地19号

TEL (0422) (51) 8958

MARUI

短時間 厚さ及び構造物の弾性係数が判定 できる

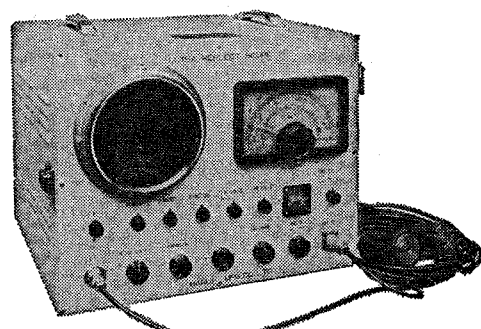
- ① 時間の節約になります (時代に即応)
- ② 正確な判断の参考資料となります
- ③ 無破壊で常に測定出来ます

用 途

- 型枠取除き判定(経済助力となる)
- ダム・コンクリート等の品質管理
- 道路隧道の厚さ及ボイドの判定
- コンクリートの経年変化・強度の推定等

営業品目

セメント・コンクリート・土質・アスファルト
水理各試験機・無破壊試験器・計量器・各種材料試験機



超音波反射測定器

 株式会社
MARUI

圓井製作所

本 社 大阪市城東区蒲生町4-10番地
電話 大阪 931-3541番(代表)
東京出張所 東京都港区西新橋3-9-5(吉田ビル)
電話 東京 431-7563番

昭和三十七年五月二十二日第三種郵便物認可
発行(毎月二十日発行回)

土木学会論文集第一三八号

より豊かな 未来を設計する!

交通事業・プラント建設事業及びあらゆる産業の土木建築施設の
計画・調査・測量・設計・施工管理

●土木部門

建設コンサルタント登録 / 登録年月日 昭和39年12月8日 / 登録番号 第39-140号
測量業登録 / 登録年月日 昭和40年11月8日 / 登録番号 登録第(1)-1467号

●建築部門

一級建築士事務所登録 / 登録年月日 昭和40年9月25日 / 東京都知事登録 第5566号

東日建設コンサルタント株式会社

本社 / 東京都千代田区丸ノ内1-4(新丸ビル)(株式会社日立製作所内) 電話 東京(212)1111(大代表)

建築部門 / 同上

土木部門 / 東京都千代田区神田駿河台4の6 電話 東京(255)1011(大代表) (旧日立シビルコンサルタント(株))

茨城事務所 / 茨城県日立市幸町3-1-1 電話 日立(2)1111(大代表)

大阪出張所 / 大阪市大淀区長柄中通り3の3 電話 大阪(351)6926

名古屋出張所 / 名古屋市中区栄3-17-12 日立製作所名古屋営業所内 電話 名古屋(251)3111(大代表)

価格 200 円